

2023年3月16日
三菱重工横浜ビル

MOVE THE WORLD FORWARD MITSUBISHI
HEAVY
INDUSTRIES
GROUP

日本原子力学会水化学部会 2022年奨励賞 受賞論文紹介

600合金の酸化皮膜性状とPWSCC発生感受性に及ぼす溶存水素濃度の影響

Influence of Dissolved Hydrogen Concentration on the Protective Property of Oxide Film of Alloy 600 Against Primary Water Stress Corrosion Cracking

三菱重工業株式会社

日本原子力発電株式会社

東北大学

東京大学

垣谷 健太、小林 高揚、佐藤 賢二

杉野 亘、中野 佑介

庄子 哲雄

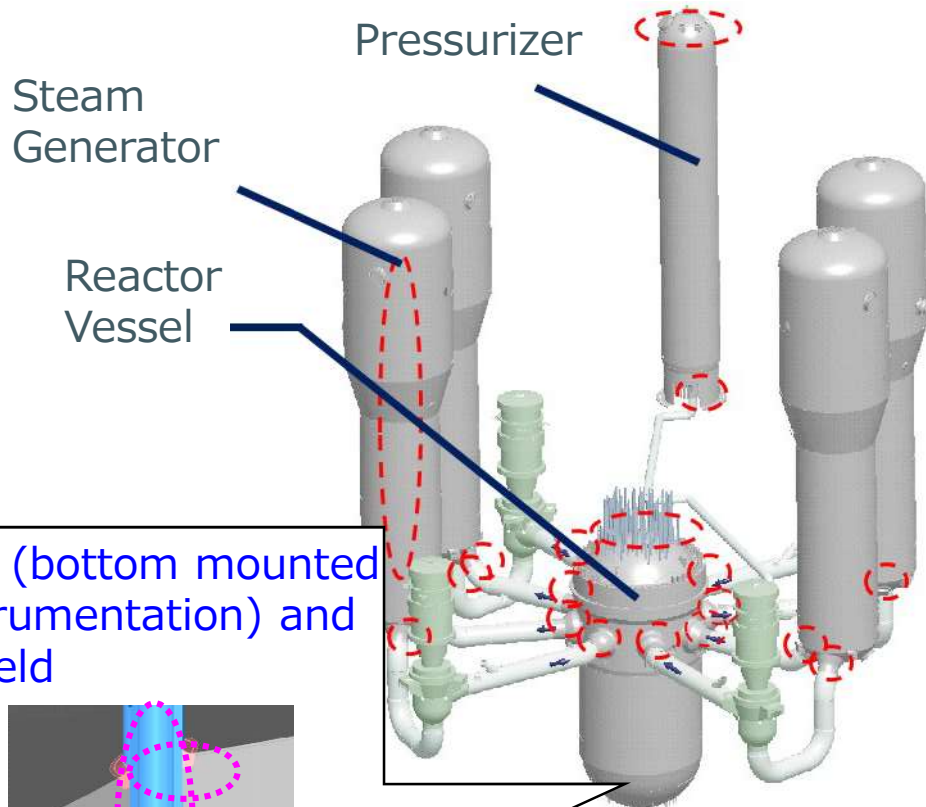
阿部 弘亨

論文：Corrosion Vol.78 (2022) 885-893.

PWR1次系における600合金とPWSCC

600合金の位置
(建設当初)

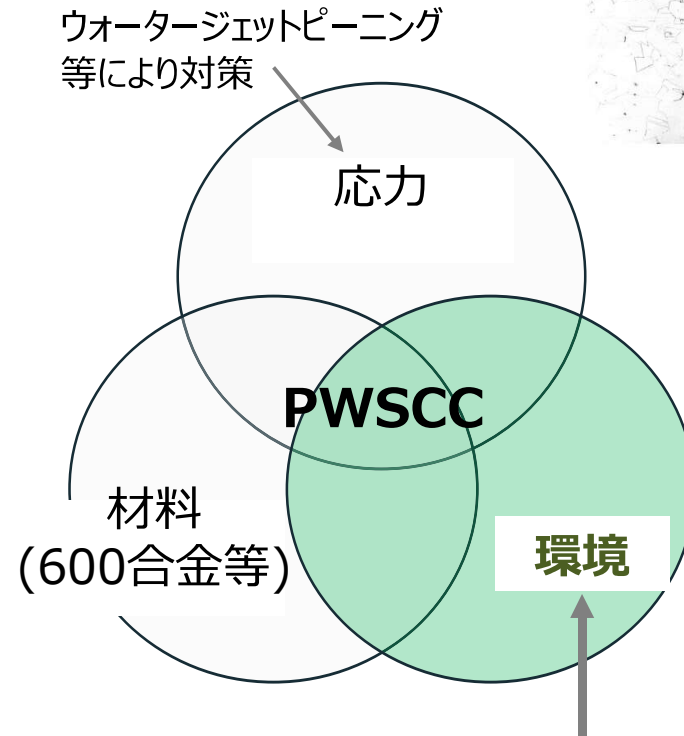
- 690系合金へ交換可能
- 690系合金へ交換困難



600合金のPWSCC

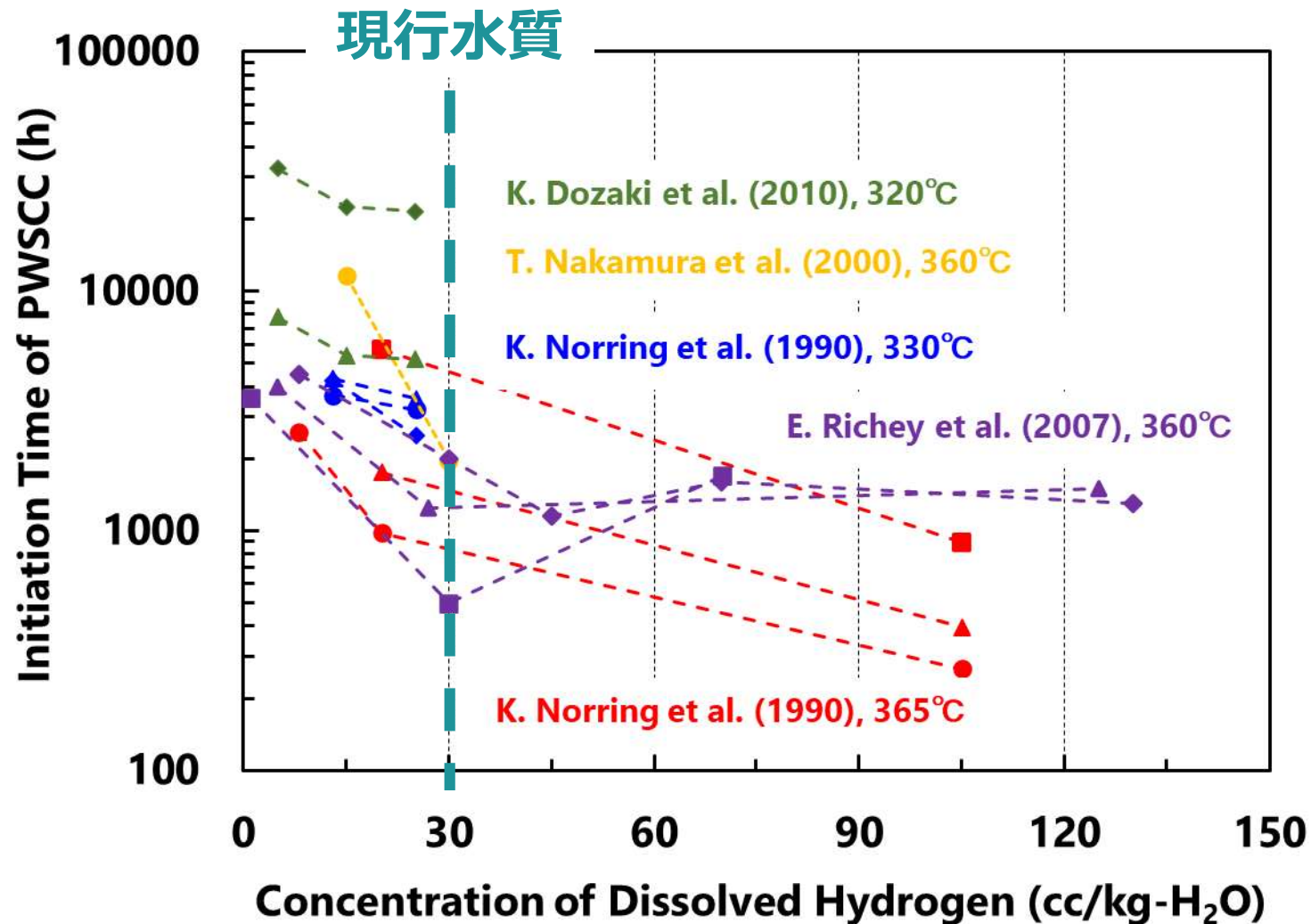


粒界割れ^[1]



本研究：
溶存水素 (DH) 濃度

既往知見 : DH濃度の低下がPWSCC発生を抑制

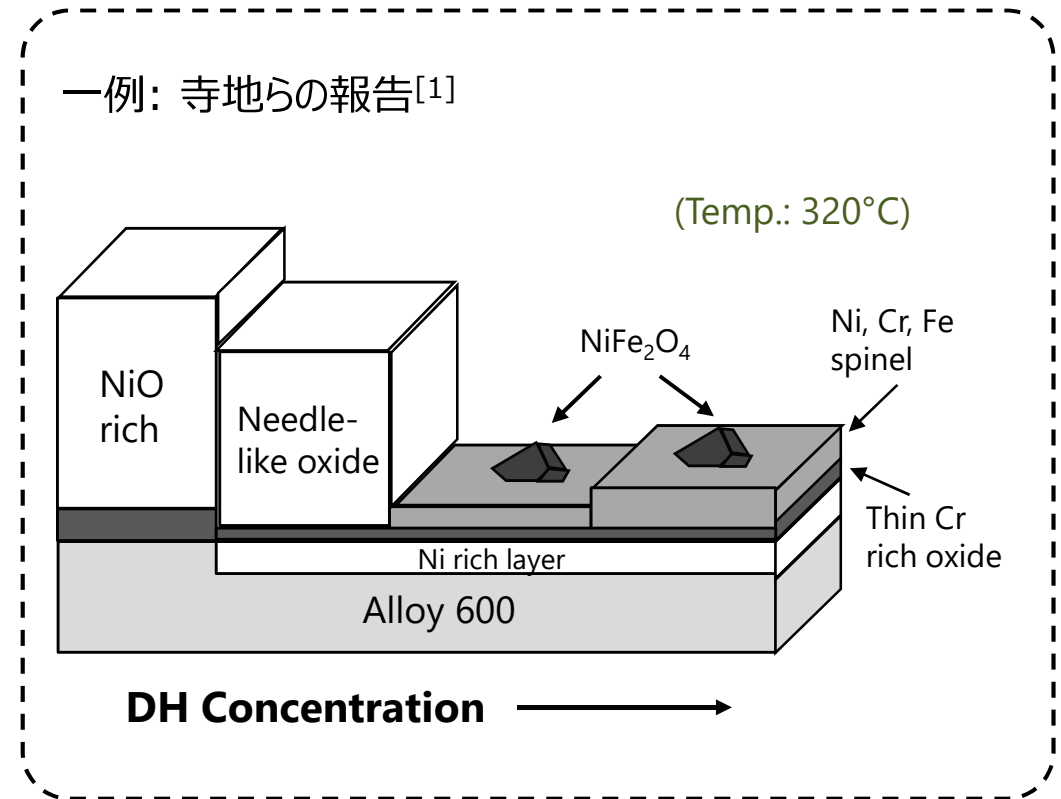


目的

- 600合金に形成する酸化皮膜性状がDHによって変化



- 酸化皮膜性状がPWSCC感受性に影響することが示唆されている
- **DH濃度を低下した水質でのPWSCC抑制メカニズムは明らかにされていない**



目的

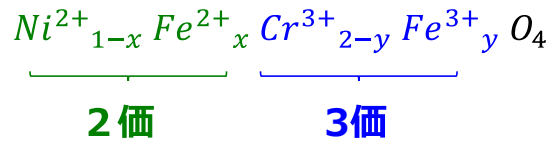
DH濃度を下げたPWR1次冷却水中で形成する酸化皮膜のPWSCCに対する保護的性質を調べる

低DH水質によるPWSCC発生抑制機構の仮説

600合金の内層酸化皮膜

||

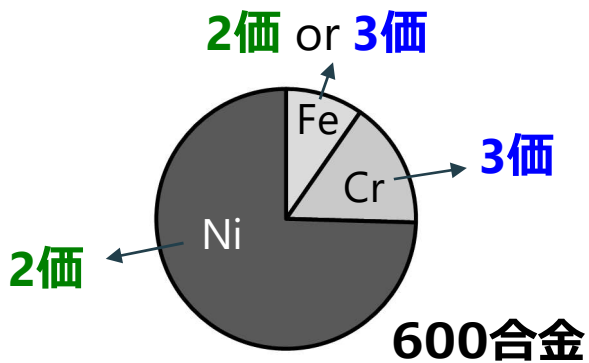
スピネル



600合金の成分からスピネルを形成

主成分Ni (2価)

⇒ 3価カチオンの不足

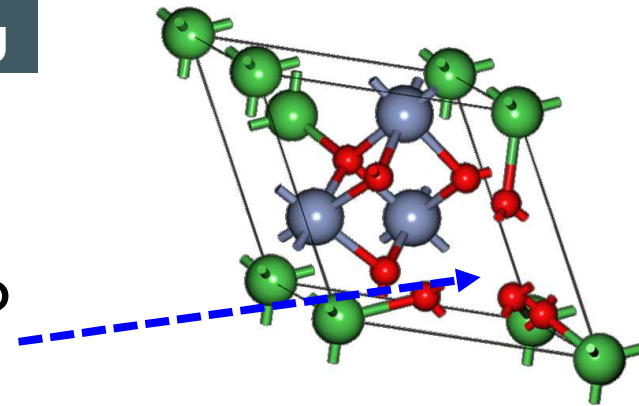


15, 30 cc/kg

M³⁺の不足



スピネル結晶の
格子欠陥



5 cc/kg

Fe³⁺がM³⁺の不足を補給



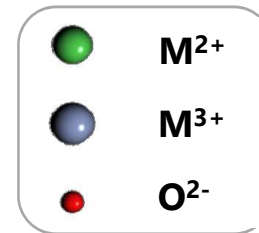
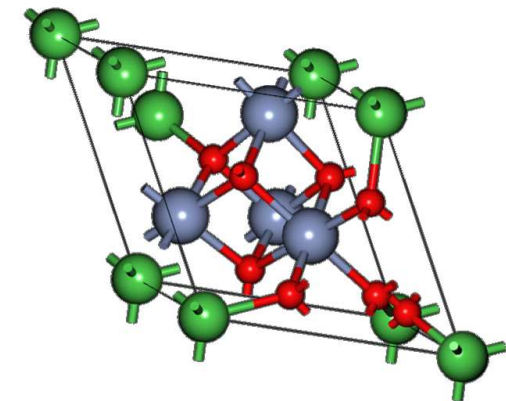
格子欠陥密度が低くなる



内層皮膜中のイオン
拡散を抑制



粒界酸化を抑制



➤ 過去の研究 [1]でPWSCC試験に供した試験片の表面に形成した酸化皮膜を調査対象とした。

表. 供試材の化学成分

	Chemical Composition (wt%)								
	C	Si	Mn	P	S	Fe	Cr	Ni	Cu
Alloy 600 (Mill Annealed)	0.029	0.28	0.28	0.009	0.001	9.53	15.57	73.54	0.014

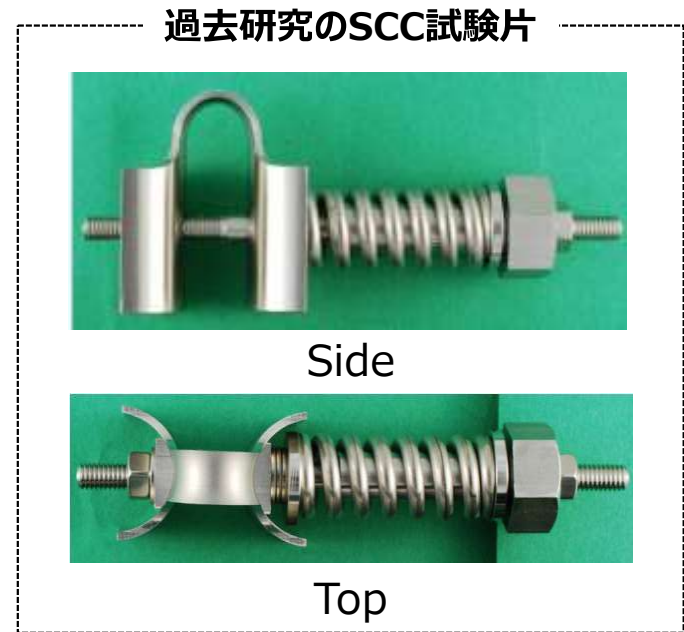
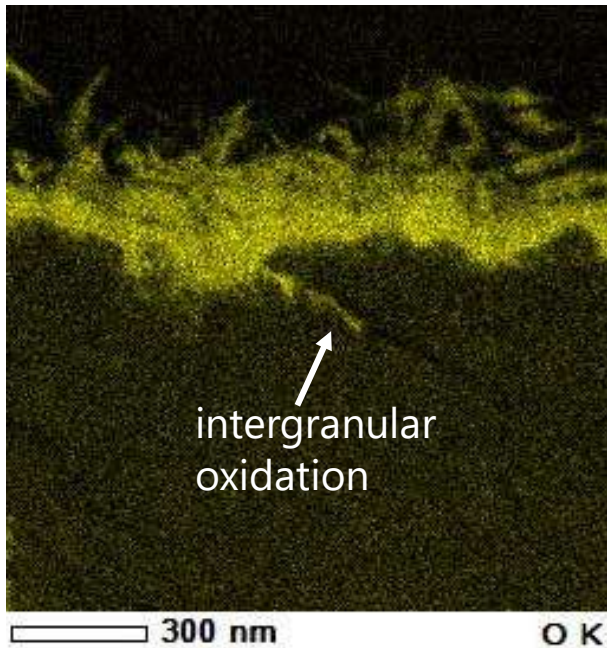


表. 前研究のPWSCC試験の条件と結果[1]

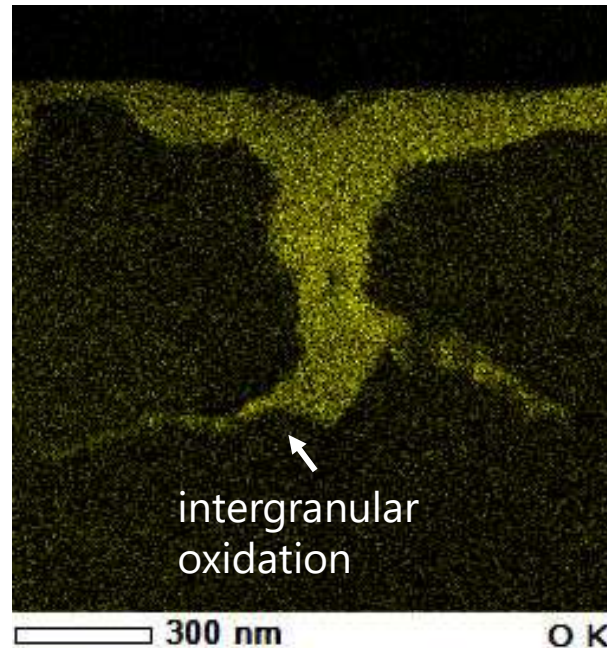
No.	DH 濃度 (cc/kg-H ₂ O)	他の水質	温度 (°C)	浸漬時間	PWSCC発生数
1	5	B: 1800 ppm Li: 3.5 ppm DO: 5 ppb以下	345	1200 h	0/7
2	15				PWSCC Mitigation 2/7
3	30				5/7

- 粒界酸化： PWSCC発生の前駆現象^[1]
- 5 cc/kgのDH濃度では、粒界酸化が比較的顕著でなかった。

DH: 5 cc/kg



DH: 15 cc/kg



DH: 30 cc/kg

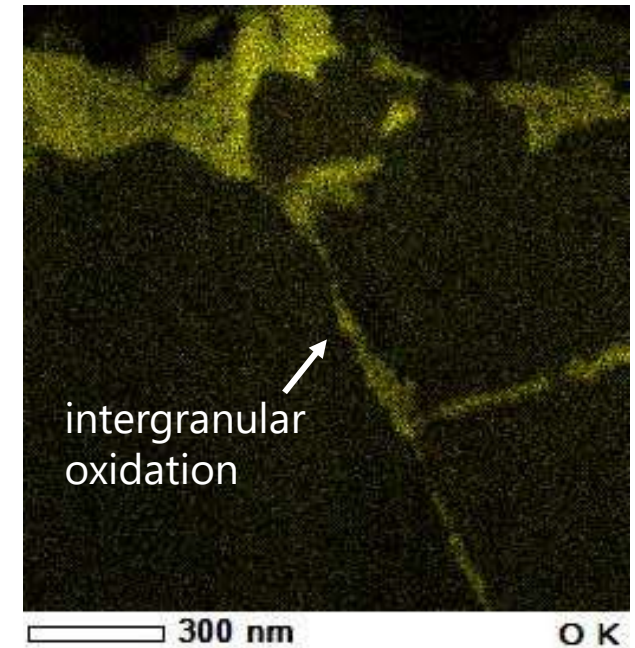


Fig. Oxygen EDS maps

内層酸化皮膜中のFeの価数

- 15、30 cc/kgのDH濃度では Fe^{2+} と Fe^{3+} が混在
- 5 cc/kg のDH濃度では, Feが主に Fe^{3+} として存在

TEM-EELS

(Electron Energy Loss Spectroscopy)

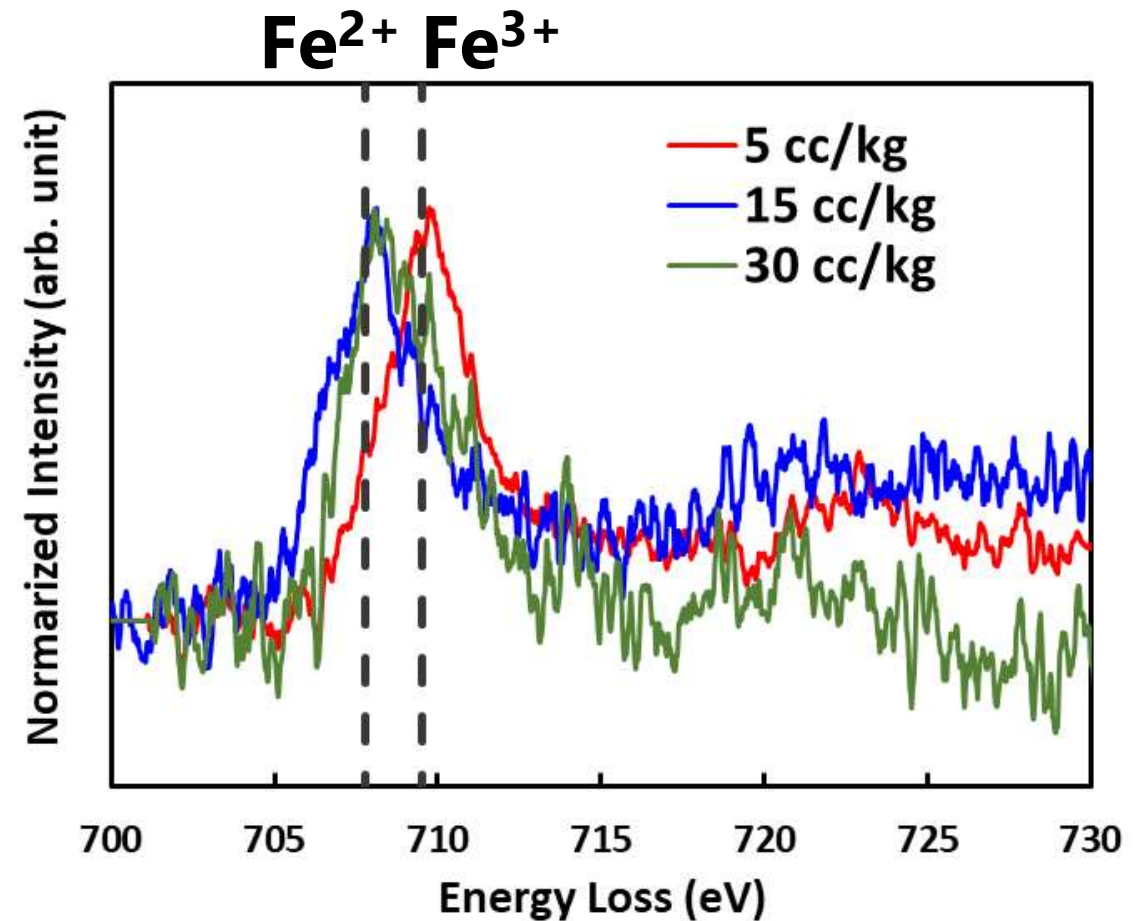
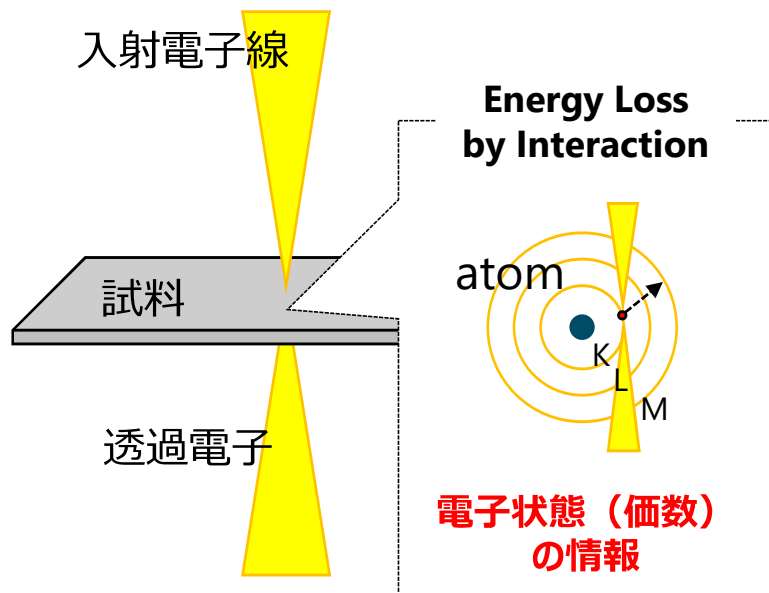


Fig. EELS at Fe-L₃ edge for inner oxide layer

酸化皮膜の電気抵抗

➤ 5 cc/kgの内層皮膜の電気抵抗は、30 cc/kg DHの場合よりも大幅に高い

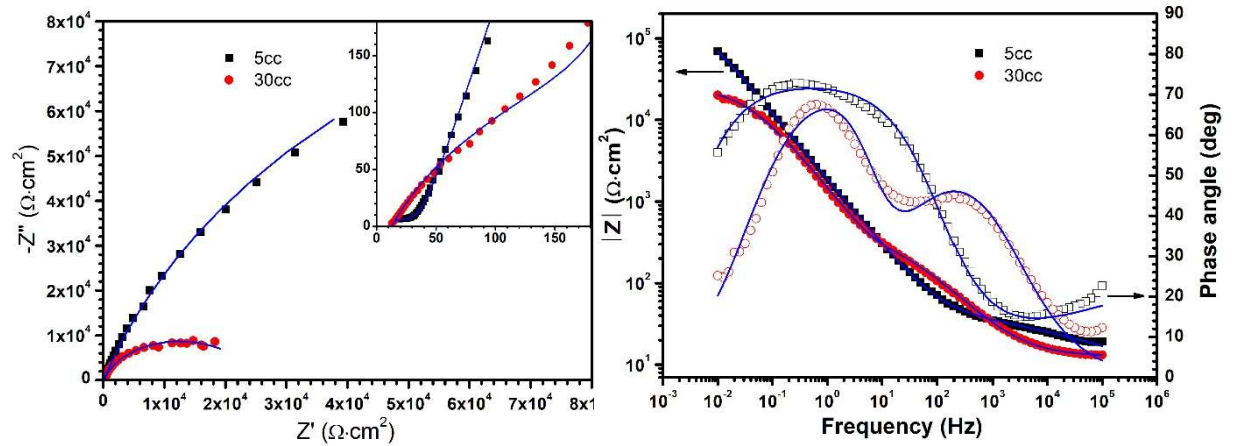


Fig. Nyquist plot and Bode plot

Table. Fitted result of Nyquist Plot

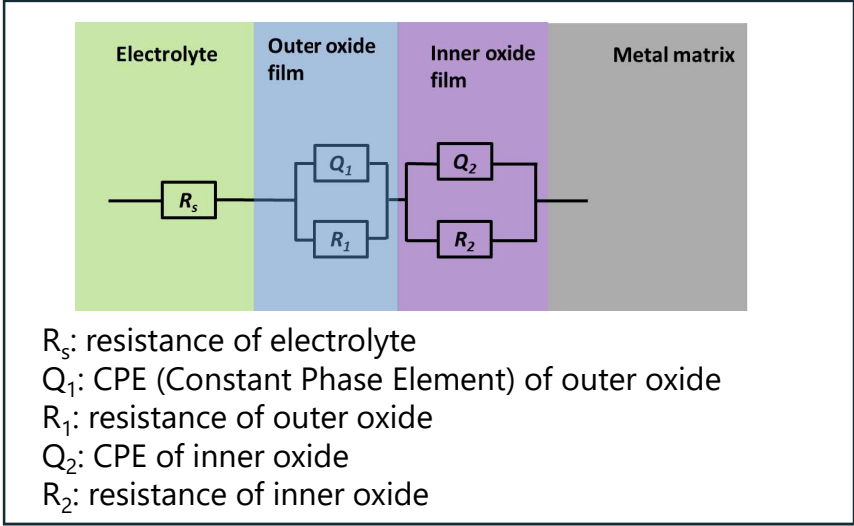


Fig. Equivalent circuit for fitting

	5 cc/kg	30 cc/kg
R_s ($\Omega \text{ cm}^2$)	12	12
Q_1 ($\Omega^{-1} \text{ S}^n \text{ cm}^2$)	1.8×10^{-4}	1.7×10^{-4}
n_1	0.49	0.63
R_1 ($\Omega \text{ cm}^2$)	27	2.1×10^2
Q_2 ($\Omega^{-1} \text{ S}^n \text{ cm}^2$)	1.2×10^{-4}	1.5×10^{-4}
n_2	0.81	0.85
R_2 ($\Omega \text{ cm}^2$)	2.5×10^5	2.2×10^4

低DH水質で形成した酸化皮膜のPWSCCに対する保護的性質

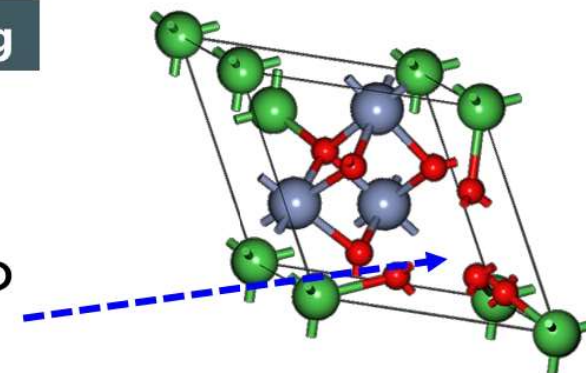
仮説（右図）

- DH濃度が5 cc/kg の水質では**FeがFe³⁺として存在**
- Fe³⁺ がスピネル型酸化物の格子欠陥を減らす
- 欠陥の少ないスピネルがイオン拡散を抑制（**酸化皮膜の電気抵抗が増大**）
- 保護性の酸化皮膜に覆われた600合金では**粒界酸化が生じにくくPWSCC発生が抑制される**

15, 30 cc/kg

M³⁺の不足

スピネル結晶の
格子欠陥



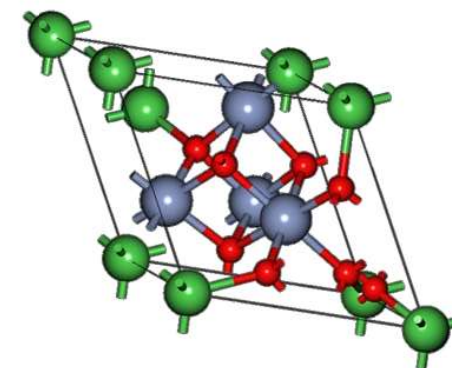
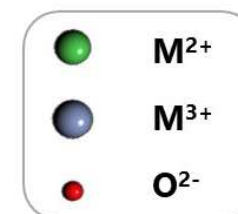
5 cc/kg

Fe³⁺がM³⁺の不足を補給

格子欠陥密度が低くなる

内層皮膜中のイオン
拡散を抑制

粒界酸化を抑制



検証

粒界酸化の
抑制傾向

TEM-EDS

Fe³⁺の状態

TEM-EELS

内層皮膜の
高い電気抵抗

Impedance
Measurement



MITSUBISHI
HEAVY INDUSTRIES